

# SLAM mit Partikelfilter: FastSLAM

Montemerlot, Thrun & al.:  
FastSLAM: A Factored Solution to the Simultaneous Localization and Mapping Problem.  
Proc. AAAI-2002

T/B/F, Kapitel 13

- Verwende Partikel-Idee wie bei MCL
- Jedes Partikel hält aktuelle Pose (alternativ: kompletten Pfad mit aktueller Pose als letzter) und die Schätzung der Positionen der Landmarken (feste Landmarkenzahl  $n$ )
- Leider: Naive Anwendung wie zur Lok. klappt nicht, wegen exp. steigender #Partikel (in der Dim. des Zustandsraumes)
- Aber: Nutze Zusammenhang zwischen Pose (x,y,theta) und Karte (Landmarken) aus: Karte abhängig von Roboterpose!

Java-Applet zum Spielen: [www.oursland.net/projects/fastslam/](http://www.oursland.net/projects/fastslam/)

# „Rao-Blackwellisierung“

**Ziel:** Schätze Pose und  $n$  Landmarkenpositionen; löse einzelne Landmarkenpositionen mit EKF<sub>n</sub>, nichtlineare Pose mit Partikelfilter

$$\begin{aligned}\mathbf{P}(m, x_t | z_{1:t}, u_{1:t-1}) &= \text{gesuchte Verteilung} \\ &= \mathbf{P}(l_{1:n}, x_t | z_{1:t}, u_{1:t-1}) \quad \text{Karte = Landmarken}\end{aligned}$$

weiter umgeformt zu:

$$= \mathbf{P}(x_t | z_{1:t}, u_{1:t-1}) \cdot \mathbf{P}(l_{1:n} | x_{1:t}, z_{1:t}, u_{1:t-1}) \quad \begin{array}{l} \text{bed. W.keit,} \\ \text{s. Folie 149} \end{array}$$

$$= \mathbf{P}(x_t | z_{1:t}, u_{1:t-1}) \cdot \mathbf{P}(l_{1:n} | x_{1:t}, z_{1:t}) \quad l \text{ unabh.v. } u, \text{ gegeben } x$$

$$= \underbrace{\mathbf{P}(x_t | z_{1:t}, u_{1:t-1})}_{\text{posteriori-Poseschätzung, ähnlich Lokalisierung}} \cdot \underbrace{\prod_{i=1}^n \mathbf{P}(l_i | x_{1:t}, z_{1:t})}_{\text{Kartier.m. bekannten Posen}} \quad l_i \text{ untereinander. unabh.}$$

posteriori-Poseschätzung,  
ähnlich Lokalisierung

Kartier.m. bekannten Posen

# Partikelfilter – grobe Idee

- aktualisiere Landmarkenpositionen durch  $n$  „Mini-“EKF für Positionen der einzelnen, aktuell sichtbaren Landmarken:
  - Wegen Unabhängigkeit der Landmarken: Benötige nur Position und 2x2-Matrix zur entspr. Unsicherheit
  - => effiziente Berechnung der Mini-EKFs möglich (verglichen mit EKF-SLAM)
- errechne neue Pose durch Sampling vom Bewegungsmodell
- Vergleich Messung (Landmarken) mit lokaler Karte → Gewichtung der Partikel (niedrig in unbekanntem Gebiet, hoch bei Schleifenschluss) → Resampling

# Partikelfilter – Implementierung

$N$  Partikel, **jedes** mit  $n$  „kleinen EKF“ für  $n$  Landmarken  
 Beschränkung auf jeweils aktuelle Posen: Inkrementelles SLAM

	Pose (volles SLAM: Pfad)	Position Landm. 1	Position Landm. 2	Position Landm. $n$
Partikel $k=1$	$s^{[1]} = (x, z, \theta)^{T[1]}$	$\mu_1^{[1]}, \Sigma_1^{[1]}$	$\mu_2^{[1]}, \Sigma_2^{[1]}$	$\dots \mu_n^{[1]}, \Sigma_n^{[1]}$
Partikel $k=2$	$s^{[2]} = (x, z, \theta)^{T[2]}$	$\mu_1^{[2]}, \Sigma_1^{[2]}$	$\mu_2^{[2]}, \Sigma_2^{[2]}$	$\dots \mu_n^{[2]}, \Sigma_n^{[2]}$
		$\vdots$		
Partikel $k=N$	$s^{[N]} = (x, z, \theta)^{T[N]}$	$\mu_1^{[N]}, \Sigma_1^{[N]}$	$\mu_2^{[N]}, \Sigma_2^{[N]}$	$\dots \mu_n^{[N]}, \Sigma_n^{[N]}$

# FastSLAM-Algorithmus

## Voraussetzung:

Alle Landmarken werden erkannt und nicht verwechselt!

Tu  $N$ -mal zur Zeit  $t$ :

- Ziehe gemäß Gewichtsverteilung Partikel  $k$  mit Pose  $s^{[k]}$
- Ziehe für  $k$  neue Pose  $s_t^{[k]} \propto P\left(s_t \mid s_{t-1}^{[k]}, u_{t-1}\right)$
- Für jede Beobachtung  $z_t^i$  bestimme korrespondierende Landmarke  $j$ ; aktualisiere  $\mu_{j,t}^{[k]}$  und  $\Sigma_{j,t}^{[k]}$  per EKF
- Berechne Partikelgewicht  $W^{[k]}$  des neuen Partikels („Wie gut passen Landmarken-Positionen zu Pose/Pfad?“)

Ziehe so aus den  $N$  aktuellen Partikeln  $N$  frische Partikel  
(analog Algorithmus MCL, Folie 287)

# Video FastSLAM

Geschätzte Partikel-Trajektorien („individuelle Partikelhistorie“ – kein volles SLAM!) aufgetragen in je wahrscheinlichster Karte zu jeder Zeit  $t$



Video von Sebastian Thrun,  
[robots.stanford.edu/videos.html](http://robots.stanford.edu/videos.html)

# FastSLAM für Rasterkarten: GridMapper

... siehe Skript!

... bei Rao-Blackwellisierung klappt der letzte Schritt (Faktorisierung) nicht, da Rasterzellen nicht unabhängig voneinander!

$$\begin{aligned} & \mathbf{P}(x_t | z_{1:t}, u_{1:t-1}) \cdot \mathbf{P}(l_{1:n} | x_{1:t}, z_{1:t}) \\ & \mathbf{P}(x_t | z_{1:t}, u_{1:t-1}) \cdot \prod^n \mathbf{P}(l_i | x_{1:t}, z_{1:t}) \end{aligned}$$

→ jedes Partikel muss „seine eigene“ komplette Rasterkarte mitführen!

→ arbeite an Reduktion der Zahl nötiger Partikel!

# Varianten von FastSLAM

... gibt es inzwischen etliche

- für Rasterkarten
- unter Unsicherheit von Assoziationen
- mit Lösung des Assoziationsproblems (EM-Algorithmus)
- für multimodale Verteilungen einzelner Landmarken
- ...

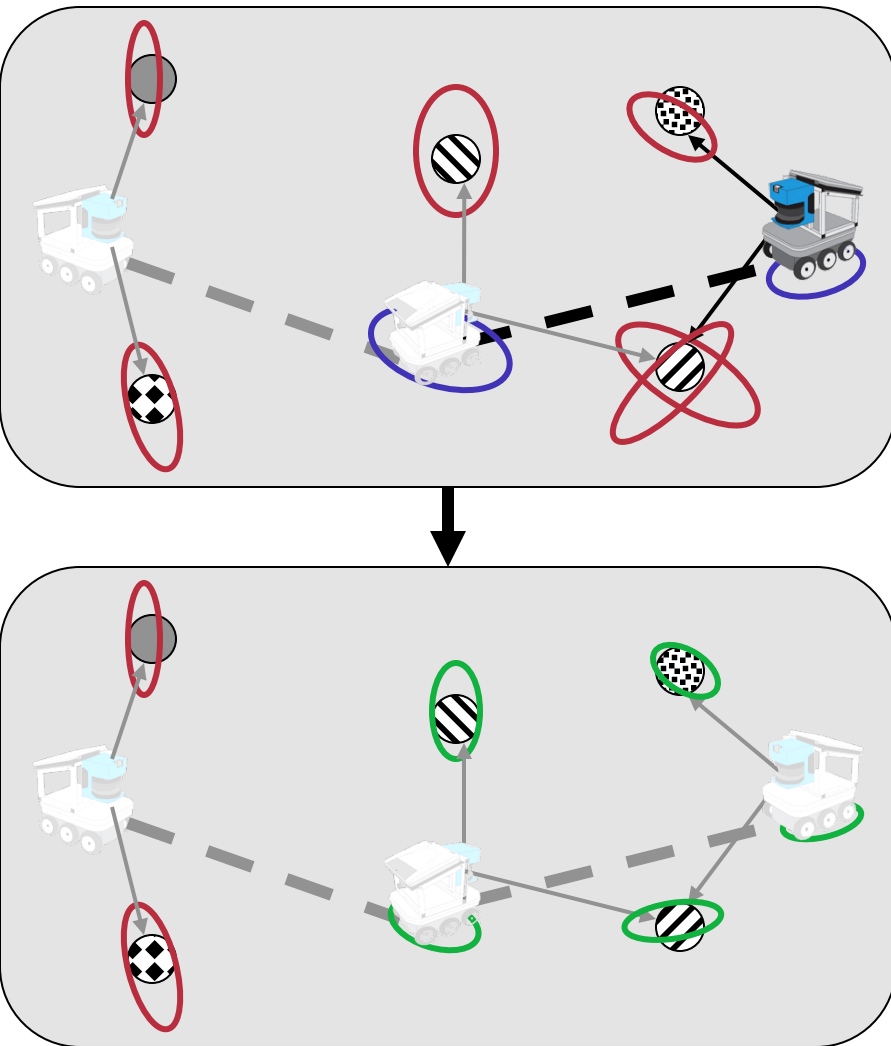


## 6.4 Vollständiges SLAM

- Inkrementelles SLAM ist vergleichsweise sparsam, weil die Pose-Historie wegfällt
- Globale Konsistenz der Information in der Karte resultiert aus Propagierung von Information (Kovarianzen) zwischen Landmarken (ausgelöst durch Schleifenschlüsse)
- Bei entfernten Landmarken kann das dauern
- Beim vollständigen SLAM bewirkt Posekorrektur beim Schleifenschluss direkte Korrektur aller Landmarkenpositionen entlang des Pfades:  $\mathbf{P}(m, x_{1:t} | z_{1:t}, u_{1:t-1})$
- Karte kann schneller konvergieren. Pose kann konvergieren. Dafür sind die Algorithmen teurer

# GraphSLAM – die Idee

## Erinnerung Folie 273



- Bei ink. SLAM ist Pose-Historie nicht Teil des Zustands: Karte enthält nur Landmarken-Positionen
- **GraphSLAM** erweitert Zustandsraum um alle Posen
- Den wahrscheinlichsten Zustand (Vektor aus Posen & Landmarkenpositionen) schätze als den Vektor mit minimalem Abstand von den jeweiligen Erwartungswerten
- Karte enthält auch Posefolge!

# Die Informationsmatrix

Roboterposen Landmarken

Roboterposen  
Landmarken

	$x_1$	$x_2$	$x_3$	$l_A$	$l_B$	$l_C$	$l_D$	$l_E$
$x_1$	■	■	■	■	■	■	■	■
$x_2$	■	■	■	■	■	■	■	■
$x_3$	■	■	■	■	■	■	■	■
$l_A$	■	■	■	■	■	■	■	■
$l_B$	■	■	■	■	■	■	■	■
$l_C$	■	■	■	■	■	■	■	■
$l_D$	■	■	■	■	■	■	■	■
$l_E$	■	■	■	■	■	■	■	■

- Vollständiges SLAM braucht die vollständige Information!
- GraphSLAM hält zusätzlich Graphen korrelierter Posen
- Dadurch Info.-Matrix dünn besetzt
- (Relativ) effizient trotz voller Information

Details & Herleitungen s. Skript!

# Informationsmatrix – Motivation

*Informationsmatrix*

		Roboterposen			Landmarken				
		$x_1$	$x_2$	$x_3$	$l_A$	$l_B$	$l_C$	$l_D$	$l_E$
Roboterposen	$x_1$	■	■	■					
	$x_2$	■	■	■					
	$x_3$	■	■	■					
Landmarken	$l_A$				■	■	■		
	$l_B$				■	■	■		
	$l_C$						■	■	■
	$l_D$							■	■
	$l_E$								■

$A$

*Vollst. Kovarianz*

		Roboterposen			Landmarken				
		$x_1$	$x_2$	$x_3$	$l_A$	$l_B$	$l_C$	$l_D$	$l_E$
Roboterposen	$x_1$	■	■	■	■	■	■	■	■
	$x_2$	■	■	■	■	■	■	■	■
	$x_3$	■	■	■	■	■	■	■	■
Landmarken	$l_A$	■	■	■	■	■	■	■	■
	$l_B$	■	■	■	■	■	■	■	■
	$l_C$	■	■	■	■	■	■	■	■
	$l_D$	■	■	■	■	■	■	■	■
	$l_E$	■	■	■	■	■	■	■	■

$A^{-1}$

*EKF-SLAM*

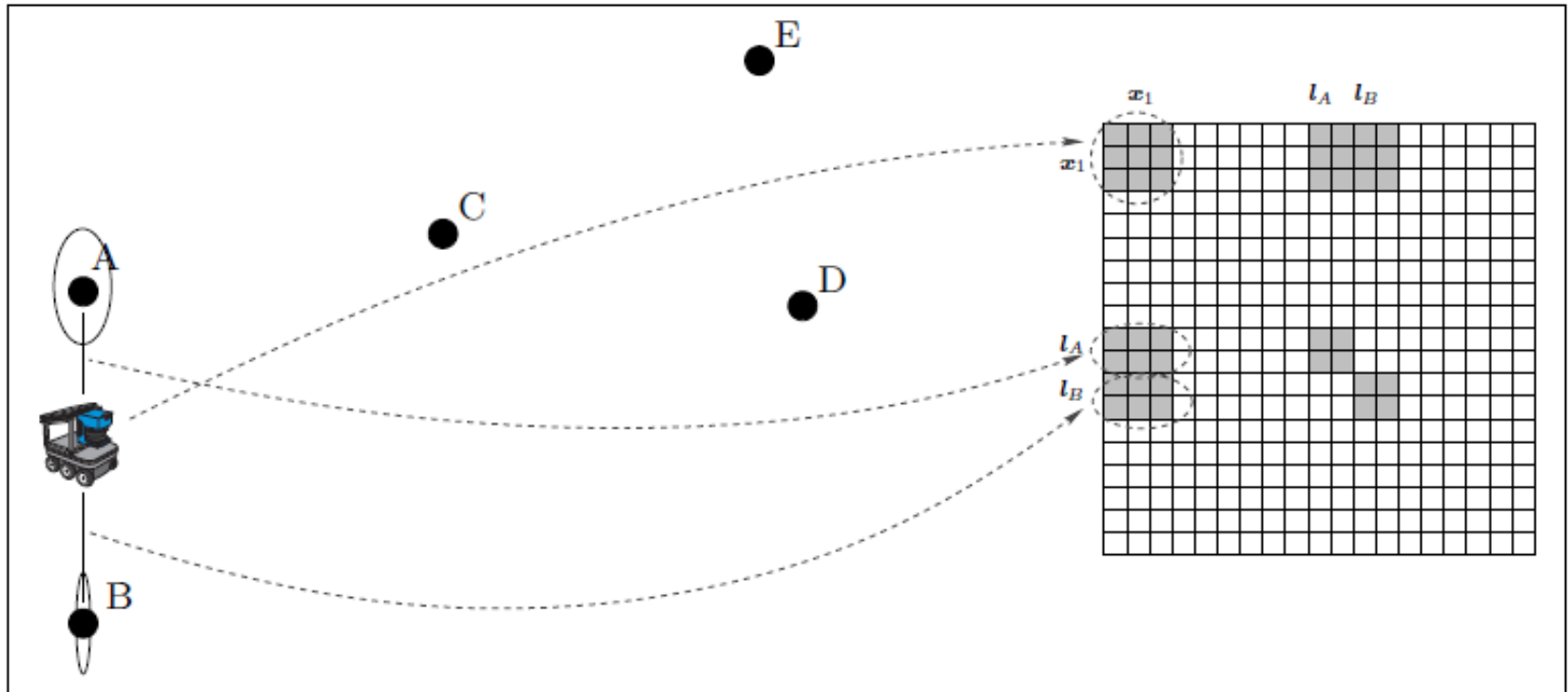
		Pose	Landmarken				
		$x_t$	$l_A$	$l_B$	$l_C$	$l_D$	$l_E$
Landmarken	Pose	■	■	■	■	■	■
	$l_A$	■	■	■	■	■	■
	$l_B$	■	■	■	■	■	■
	$l_C$	■	■	■	■	■	■
	$l_D$	■	■	■	■	■	■
	$l_E$	■	■	■	■	■	■

$C_{EKF}$

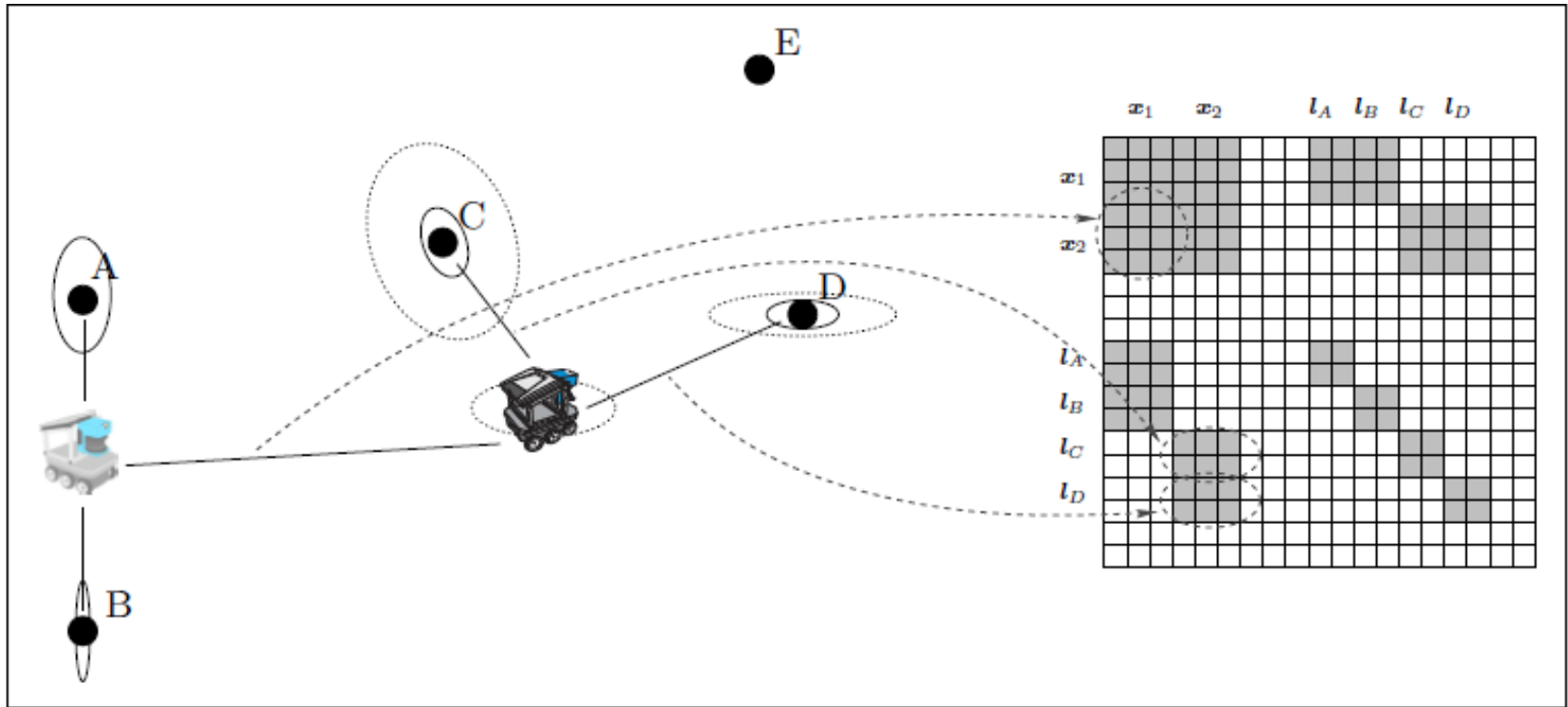
invertieren

Teilmatrix bilden

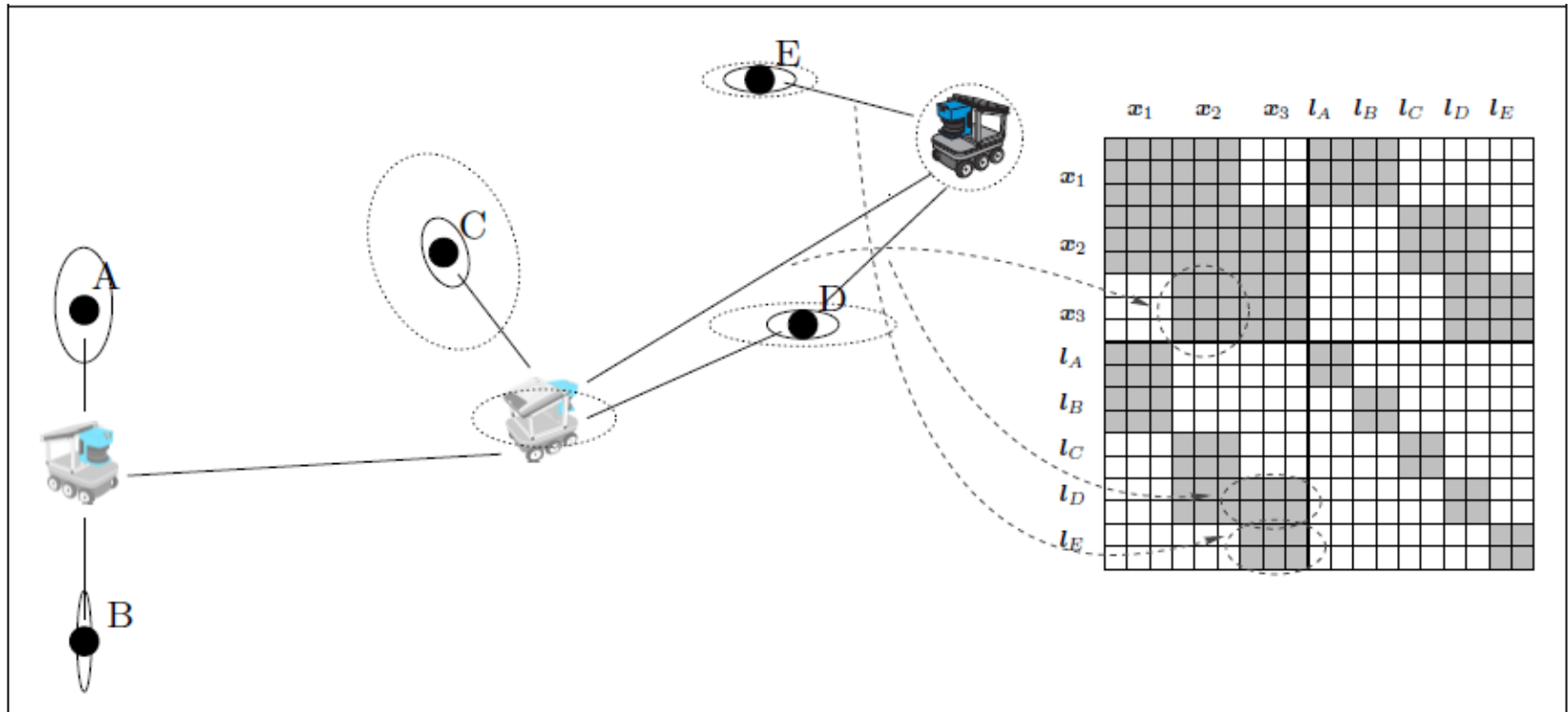
# Informationsmatrix – Entwicklung (1)



# Informationsmatrix – Entwicklung (2)



# Informationsmatrix – Entwicklung (3)



# ICP in 6D

A. Nüchter & al.:

*6D SLAM with Approximate Data Association*. Proc. ICAR-2005

[kos.informatik.uni-osnabrueck.de/download/icar2005\\_2.pdf](http://kos.informatik.uni-osnabrueck.de/download/icar2005_2.pdf)

## Erinnerung an Folie 222ff

- ICP nutzt Punktkorrespondenzen  $w_{i,j}$  in 2 Scans (nach Nähe)
- Sei  $M$  (Modellscan),  $D$  (Datenscan) Scans mit Punkten (3D!)  $\mathbf{m}_i, \mathbf{d}_j$ . Finde  $\mathbf{R}, \mathbf{t}$  (jetzt in 6D!), sodass  $E(\mathbf{R}, \mathbf{t})$  minimal wird:

$$E(\mathbf{R}, \mathbf{t}) = \sum_{i=1}^{|M|} \sum_{j=1}^{|D|} w_{i,j} \left\| \mathbf{m}_i - (\mathbf{R} \mathbf{d}_j + \mathbf{t}) \right\|^2$$

## Tricks zur Beschleunigung

- Datenreduktion (z.B. Octree-basiert)
- Berechnung von Rotation & Translation in geschlossener Form
- $kD$ -Bäume für Nachbarpunktsuche



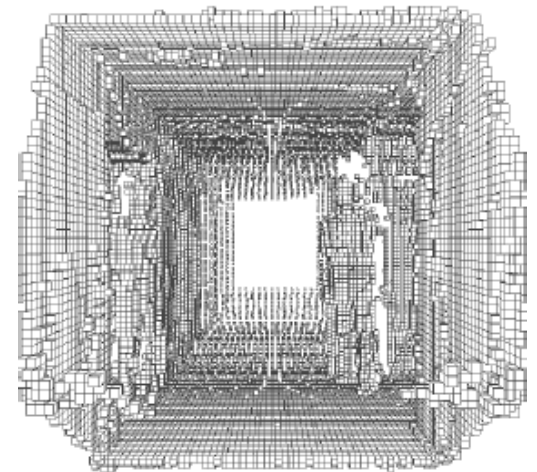
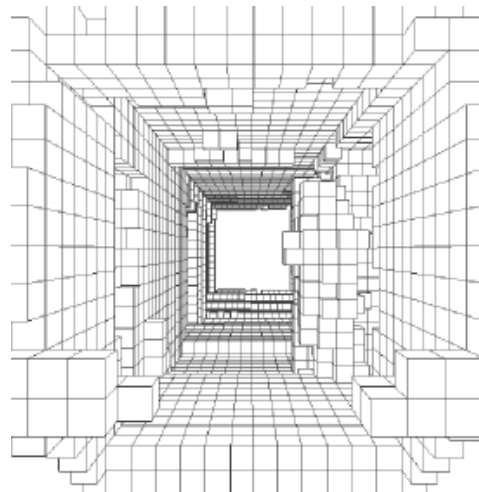
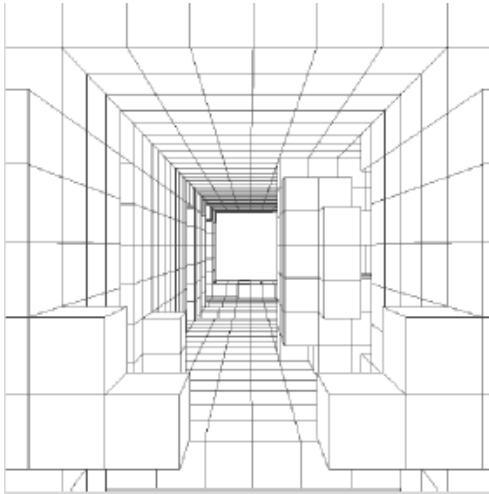
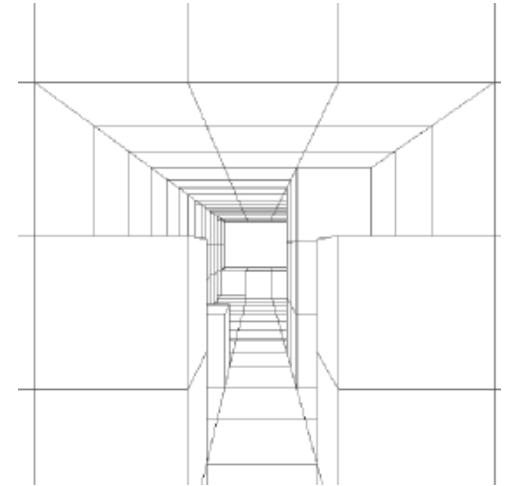
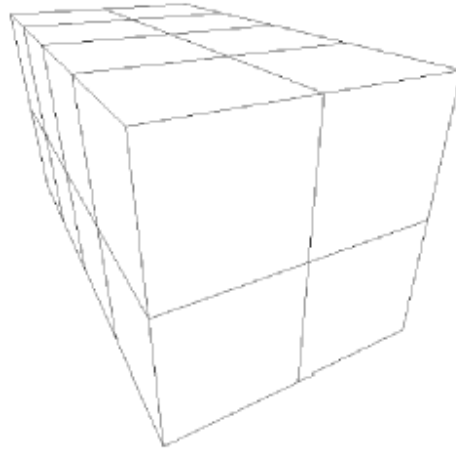
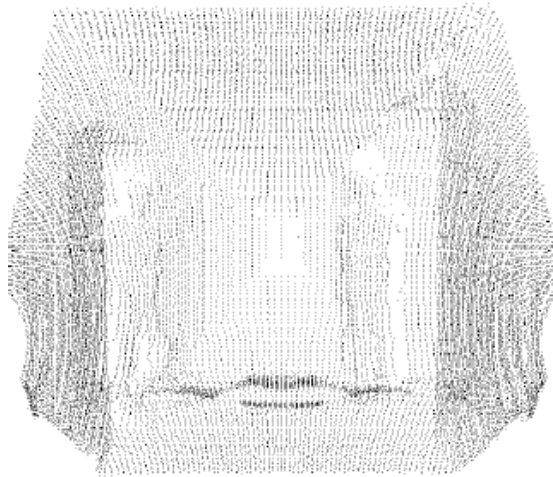
# Rotation & Translation in geschlossener Form

$$E(\mathbf{R}, \mathbf{t}) = \sum_{i=1}^{|M|} \sum_{j=1}^{|D|} w_{i,j} \left\| \mathbf{m}_i - (\mathbf{R} \mathbf{d}_j + \mathbf{t}) \right\|^2$$

- ... bei HAYAI (Folie 238ff) separiert und gelöst für Merkmale
- ... die wir hier nicht haben (nur 3D-Punktwolken)
- ... doch  $E(\mathbf{R}, \mathbf{t})$  minimiert man ähnlich wie bei HAYAI

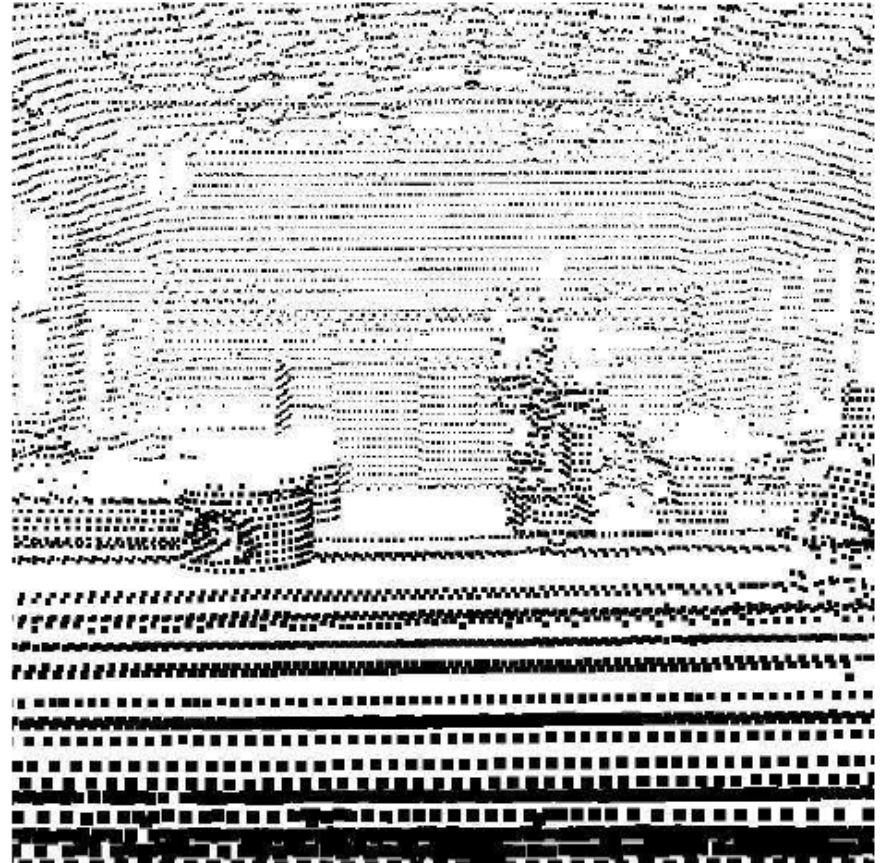
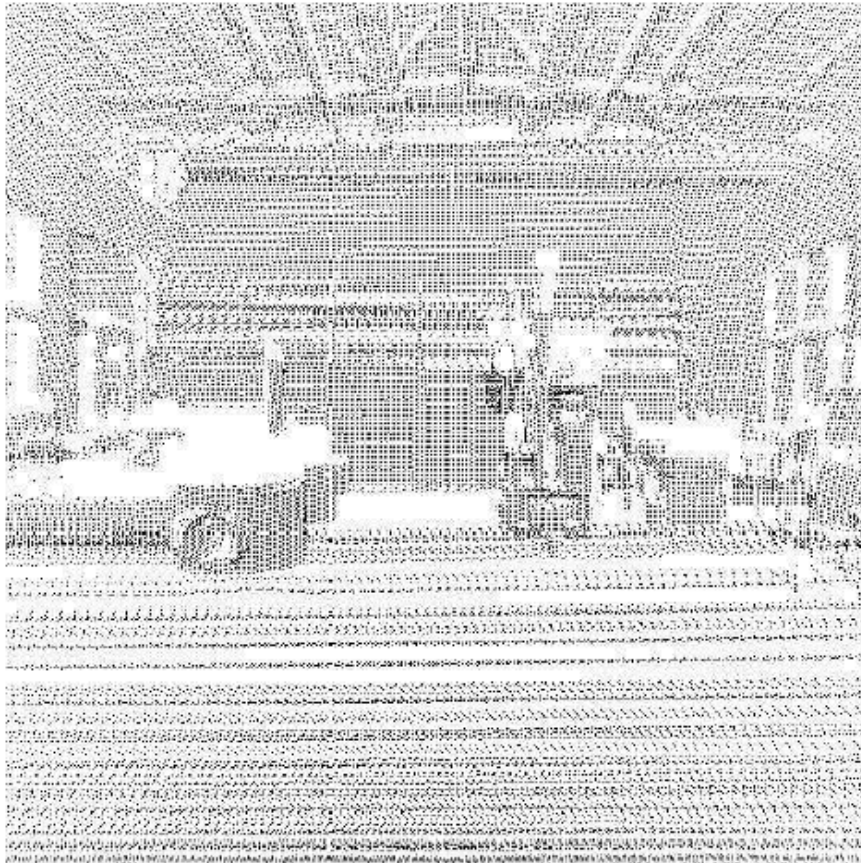
Im Detail im Buch (6.4.3)!

# Octree-Repräsentation (z.B. zur Datenreduktion)



# Datenreduktion

... entspr. Folie 254 (Reduktion für Lokalisierung durch Scanmatching)



2D-Rendering: Original + Bild mit reduzierten (+größer gemalten) Punkten



## Tricks zur Beschleunigung

# $kD$ -Bäume, hier: $k=3$

- Datenreduktion ✓
- Berechnung von Rotation & Translation in geschlossener Form ✓
- $kD$ -Bäume für Nachbarpunktsuche

## *Nearest Neighbor Suche zu Punkt $p$*

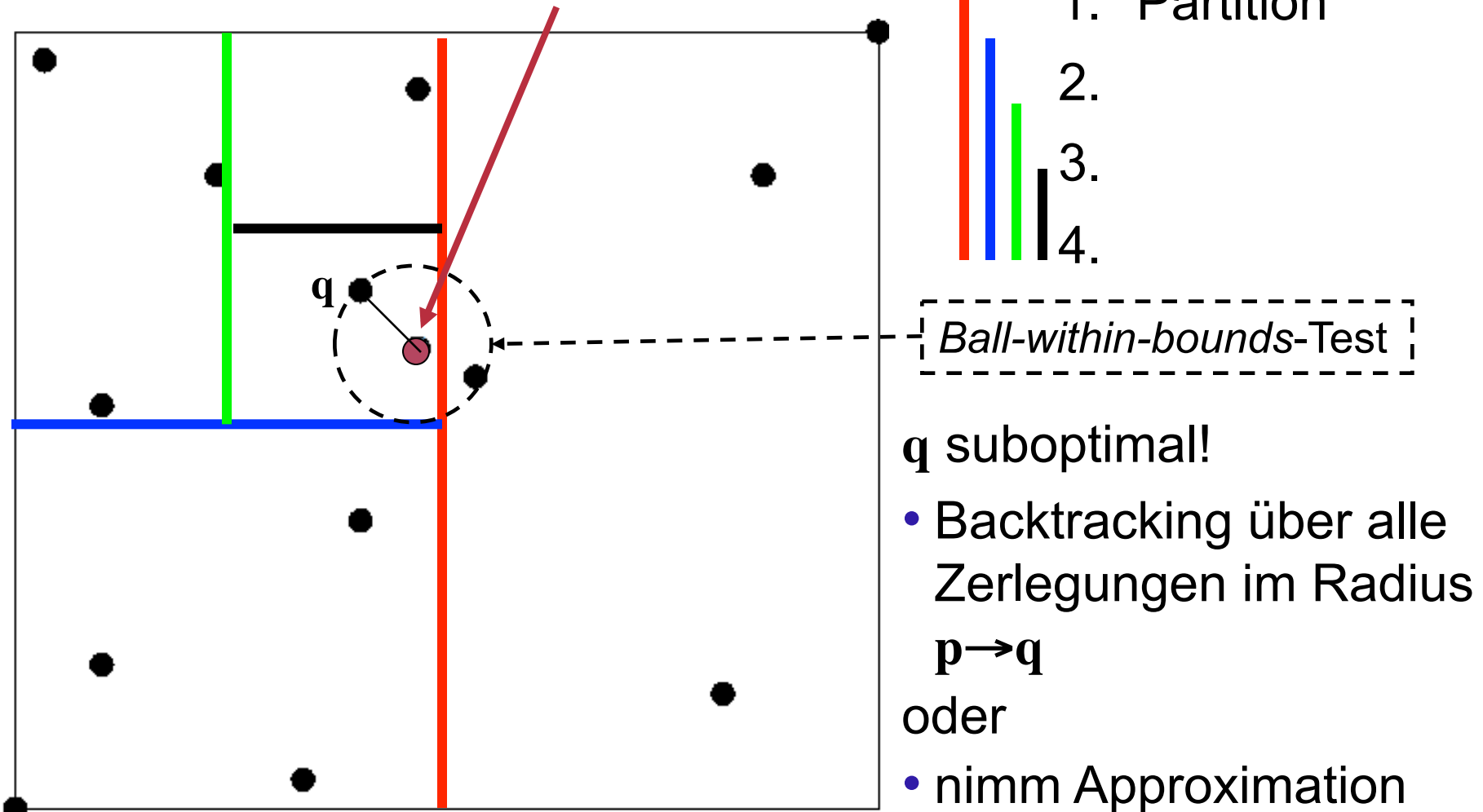
1. Zerlege durch eine Hyperebene ( $(k-1)$ -dimensional) den zu durchsuchenden Raum (default: gleichmäßige Zerlegung)
2. Betrachte die Hälfte, in der  $p$  liegt
  - liegen max.  $b$  („*bucket size*“) Punkte im selben  $k$ -Volumen, ermittle nächsten Nachbarpunkt  $q$ ; weiter bei 3.
  - sonst teile weiter (Schritt 1)
3. Nachprozessierung (s.u.)

z.B. R. Sedgewick: *Algorithmen in C*, Kap. 26

oder: [www-lehre.inf.uos.de/~dbs/2005/PDF/skript-05.pdf](http://www-lehre.inf.uos.de/~dbs/2005/PDF/skript-05.pdf)

# Beispiel: Nachbarsuche im 2D

Sei  $b=1$  Finde Nachbarn dieses Punktes  $p$ !



# Registrierung einzelner Flur-Scans



## Algorithmenanimation

3D-Scans in Aufsicht auf Flur

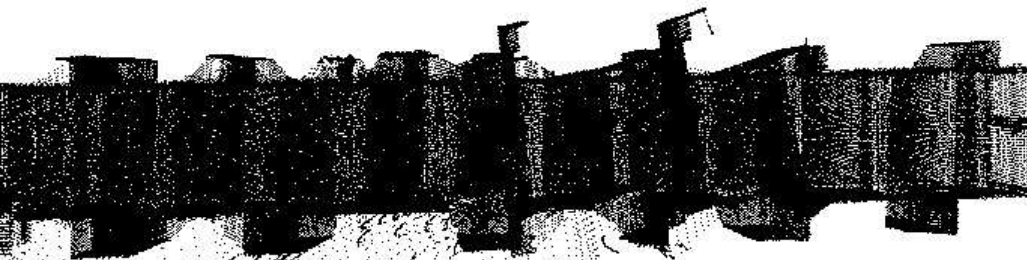
- läuft online (zwischen Aufnahme von 2 Scans)
- nutze  $(\mathbf{R}, \mathbf{t})$  zur Korrektur der Poseschätzung des letzten Scans

# Registrierung mehrerer Scans



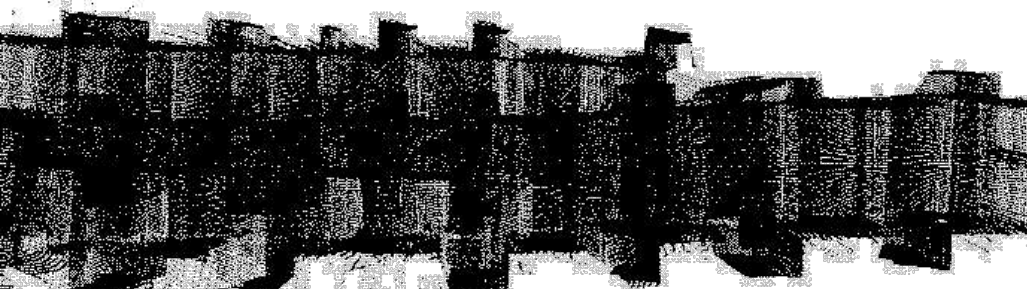
## Paarweises Matching

Registrierte mit maximal überlappendem Alt-Scan



## Inkrementelles Matching

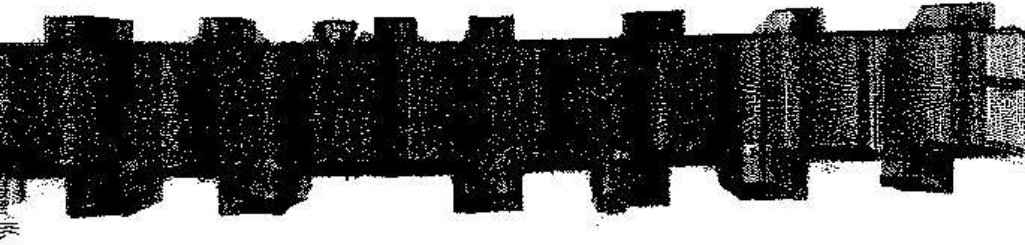
Registrierte mit **Metascan**  
(Resultat aller früheren Registrierungen)



## Merkmalsbasiertes Matching

Registrierte auf Basis von Merkmalsmengen, hier: Linien-Endpunkte

# Registrierung mehrerer Scans (Forts.)



## Simultanes Matching

Registrierte iterativ (bis zur globalen Relaxierung) alle Scans bzgl. aller Nachbarn; fixiere den ersten Scan (Ursprung)

Registrierung von 20 Scans  
(~50,000 Pkte., reduziert)  
der Büroflur-Szene wie dargestellt  
(Laufzeiten relativ, Messungen  
auf alter Hardware)

Match-Methode	Laufzeit
Paarweise	47 sec
Inkrementell	59 sec
Merkmalbasiert	40 sec
Simultan	17:44 min

## Pragmatische Lösung

- Paarweises Matching on-line auf dem Roboter
- Simultanes Matching off-line zum Kartenbau



# Beispiel: 3D-Karte aus dem Schloss

